

Procjene maksimalnih godišnjih kratkotrajnih količina oborine na postaji Bilogora

Geografska širina (ϕ): 45.88361° (554353.98E)

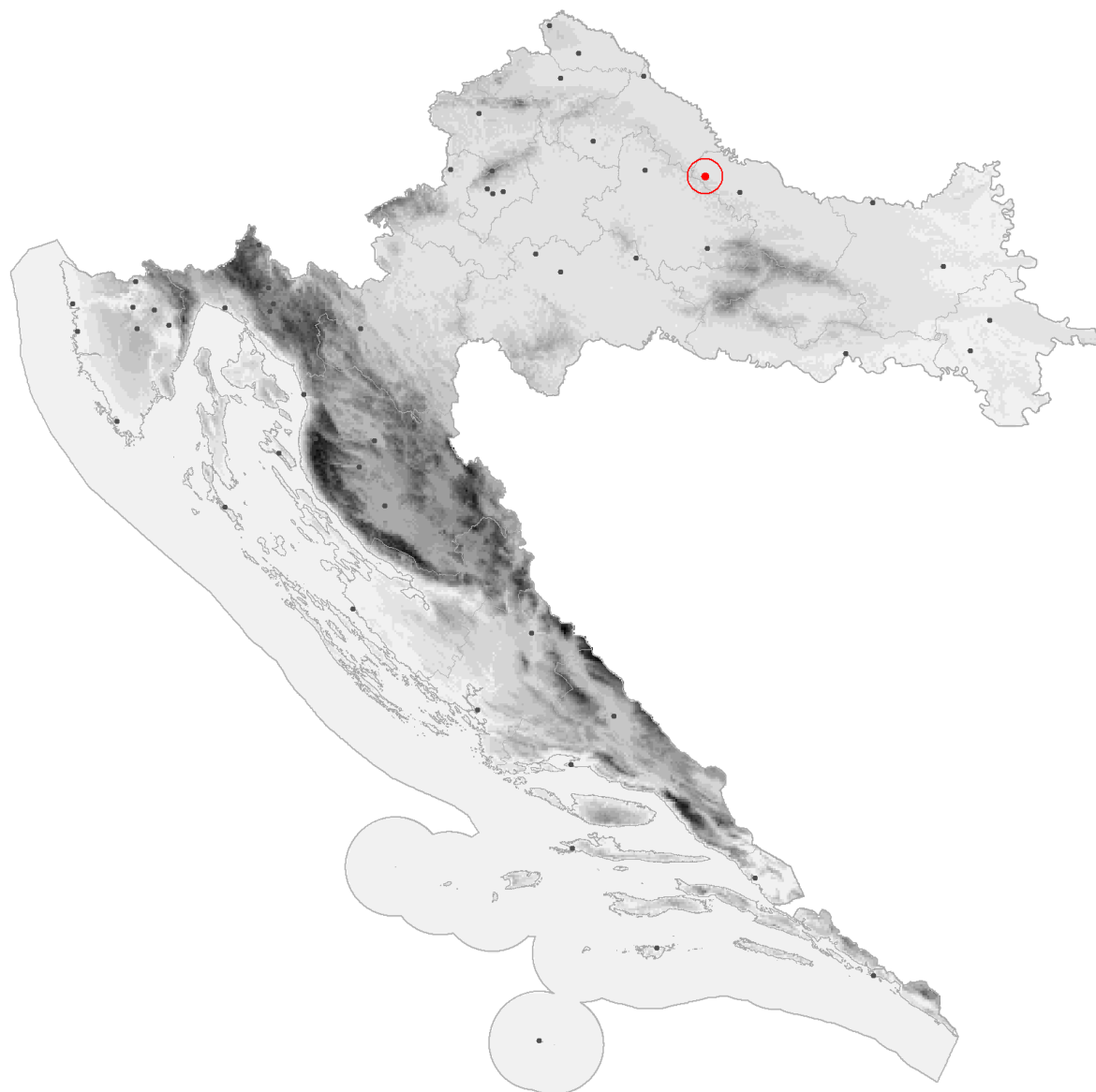
Geografska dužina (λ): 17.20028° (5082879.44N)

Nadmorska visina (h): 257 m

Razdoblje: 1977. – 2020.

Analizirani broj godina: 39 (88.6 %)

Nedostajuće godine: 5 (11.4 %) 1995, 1996, 1997, 1998, 1999



Najbliži ombrograf: Virovitica, 17 km

Tablica 1.

Osnovni statistički parametri oborine za različita trajanja: Rsred – srednjak [mm], StDev – standardna devijacija [mm], CV – koeficijent varijacije oborine, Rmaks – najveća registrirana količina oborine [mm] i pripadni datum i vrijeme, Tmaks – pripadno povratno razdoblje za Rmaks [god].
BILOGORA, razdoblje 1977. – 2020.

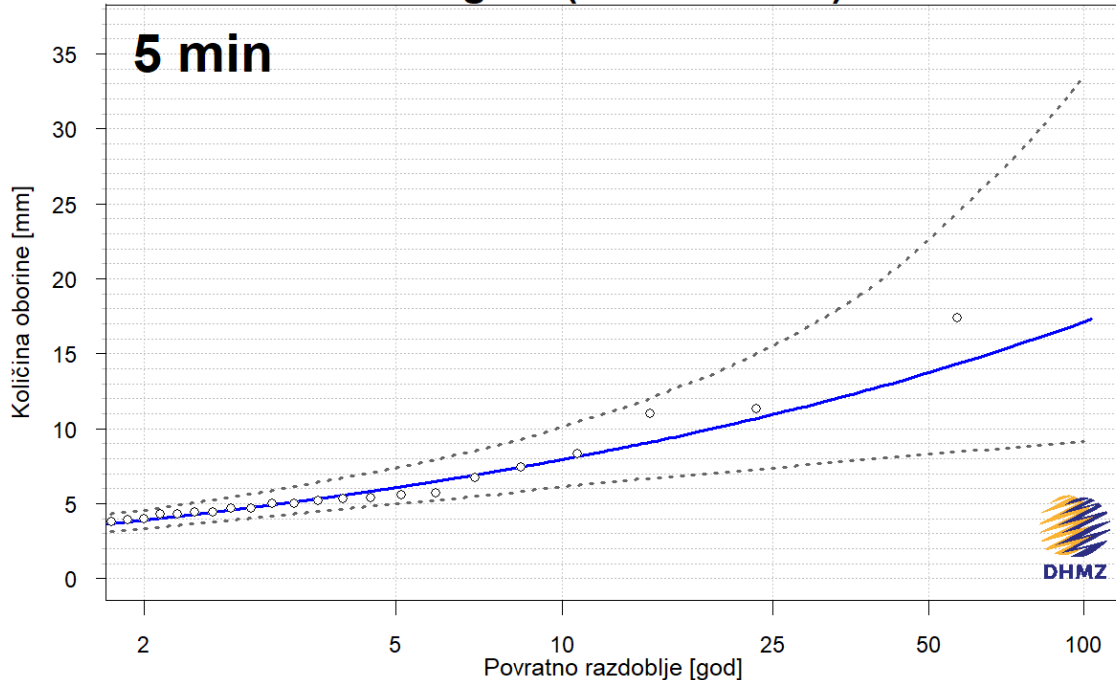
Trajanje	Rsred	StDev	CV	Rmaks	Datum/Vrijeme	Tmaks
5 min	4.7	3.0	0.64	17.4	2007-07-03 17:30:00	105
10 min	8.0	4.4	0.55	24.6	2007-07-03 17:35:00	109
20 min	12.1	6.4	0.53	31.3	1983-07-08 16:45:00	50
30 min	14.9	7.9	0.53	40.5	2005-07-01 16:25:00	58
40 min	16.7	8.5	0.51	44.8	1983-07-08 16:50:00	67
50 min	18.0	8.9	0.49	48.5	1983-07-08 16:55:00	78
60 min	19.0	9.1	0.48	50.9	1983-07-08 17:05:00	81
2 h	23.4	9.0	0.38	52.2	1983-07-08 17:10:00	77
3 h	26.2	9.0	0.34	52.2	1983-07-08 17:10:00	77
4 h	28.5	8.7	0.31	52.2	1983-07-08 17:10:00	67
6 h	31.9	8.7	0.27	52.2	1983-07-08 17:10:00	35
8 h	34.0	8.2	0.24	52.2	1983-07-08 17:10:00	30
12 h	37.2	8.1	0.22	52.3	1983-07-09 00:20:00	27
24 h	45.1	12.5	0.28	76.4	1988-08-23 04:10:00	56

Tablica 2.

Procjene maksimalnih godišnjih količina oborine RT [mm] za različita trajanja i odgovarajuće donje (IPd) i gornje granice (IPg) 95%-tih intervala pouzdanosti za različita povratna razdoblja T (2, 5, 10, 25, 50 i 100 godina). **BILOGORA, razdoblje 1977. – 2020.**

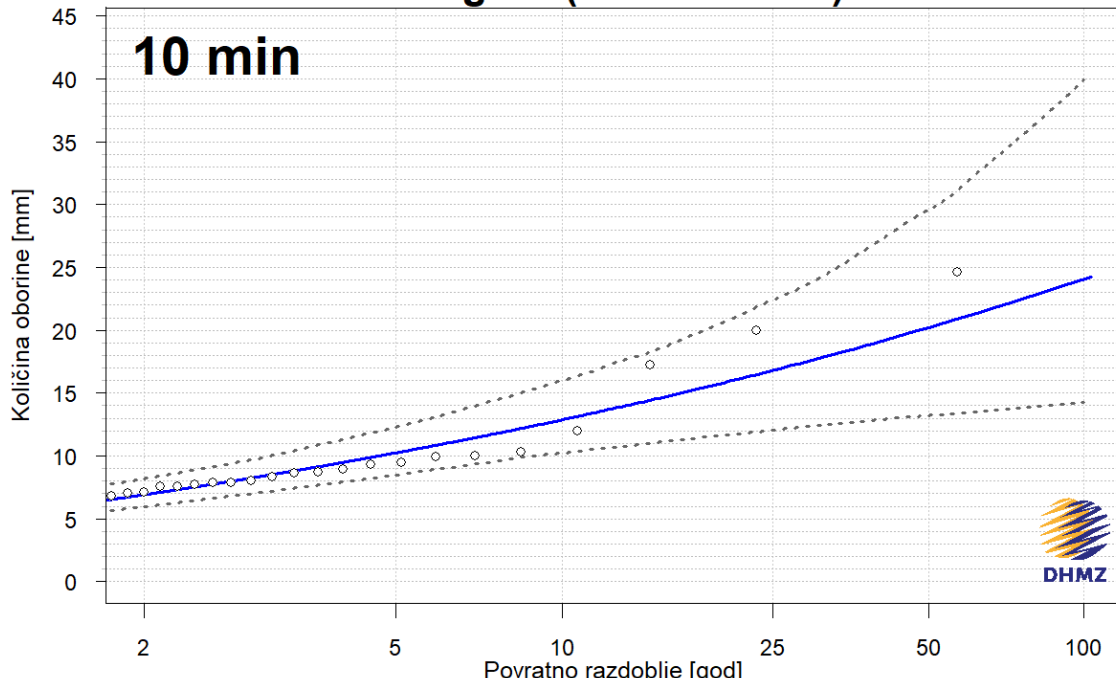
Trajanje	T2			T5			T10			T25			T50			T100		
	IPd	RT	IPg															
5 min	3.3	3.9	4.5	5.0	6.1	7.4	6.1	7.9	10.1	7.4	10.9	15.5	8.3	13.7	22.6	9.1	17.1	33.5
10 min	5.9	6.9	8.2	8.5	10.2	12.3	10.2	12.9	16.0	12.0	16.8	22.4	13.2	20.2	29.6	14.3	24.1	39.9
20 min	9.1	10.4	12.2	12.6	15.2	18.2	15.3	19.2	23.7	18.3	25.5	34.9	20.3	31.2	48.1	22.7	38.0	65.1
30 min	11.1	12.7	14.8	15.6	18.9	22.8	18.9	23.9	30.0	22.7	31.7	44.7	24.9	38.8	60.8	27.2	47.0	83.2
40 min	12.5	14.6	17.0	17.8	21.5	25.6	21.4	26.9	33.5	25.8	34.9	47.4	28.7	41.7	62.8	31.1	49.4	83.9
50 min	13.7	15.9	18.7	19.7	23.3	27.9	23.6	28.9	36.2	27.9	37.0	49.1	31.0	43.8	65.5	33.5	51.3	86.2
60 min	14.6	16.8	19.1	20.5	24.3	28.2	24.2	30.1	36.3	28.5	38.4	51.7	31.6	45.5	68.0	34.3	53.4	90.3
2 h	19.1	21.6	24.7	25.9	29.6	33.8	29.7	35.2	40.9	33.6	42.7	53.3	35.9	48.5	65.1	38.1	54.5	79.7
3 h	22.0	24.9	27.9	29.2	33.2	37.2	33.4	38.4	43.5	37.5	44.8	52.8	39.6	49.4	60.1	41.1	53.8	69.2
4 h	24.4	27.3	30.1	31.5	35.3	38.9	35.7	40.3	45.0	39.7	46.3	53.8	42.2	50.5	61.5	43.8	54.4	70.5
6 h	27.7	30.6	33.7	34.6	38.7	43.0	38.5	43.8	48.9	42.1	50.1	58.1	44.7	54.5	65.7	46.1	58.8	75.0
8 h	29.9	32.8	35.5	36.7	40.4	43.9	39.8	45.2	49.7	43.4	51.1	58.6	45.4	55.2	65.8	46.8	59.2	74.3
12 h	34.3	37.0	39.8	40.9	44.3	47.6	44.4	48.1	51.6	47.3	52.0	56.7	49.0	54.4	60.8	49.8	56.4	65.0
24 h	39.4	43.7	47.9	49.4	55.0	60.4	55.1	61.9	69.0	60.6	70.0	80.9	64.1	75.5	90.2	66.6	80.7	101.0

Bilogora (1977. – 2020.)



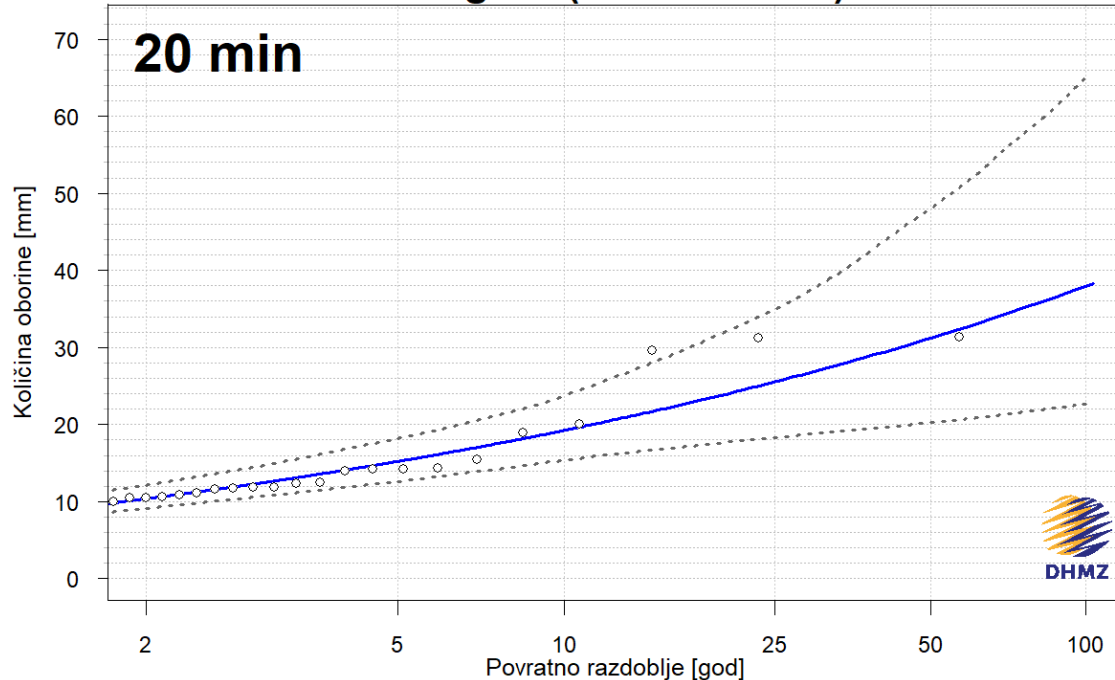
Slika 1. Procjene maksimalnih godišnjih količina oborine za različita povratna razdoblja (plava krivulja) i odgovarajući donji i gornji 95%-tni intervali pouzdanosti (crtkane krivulje) za trajanje **5 minuta**, izračunate pomoću razdiobe GEV

Bilogora (1977. – 2020.)



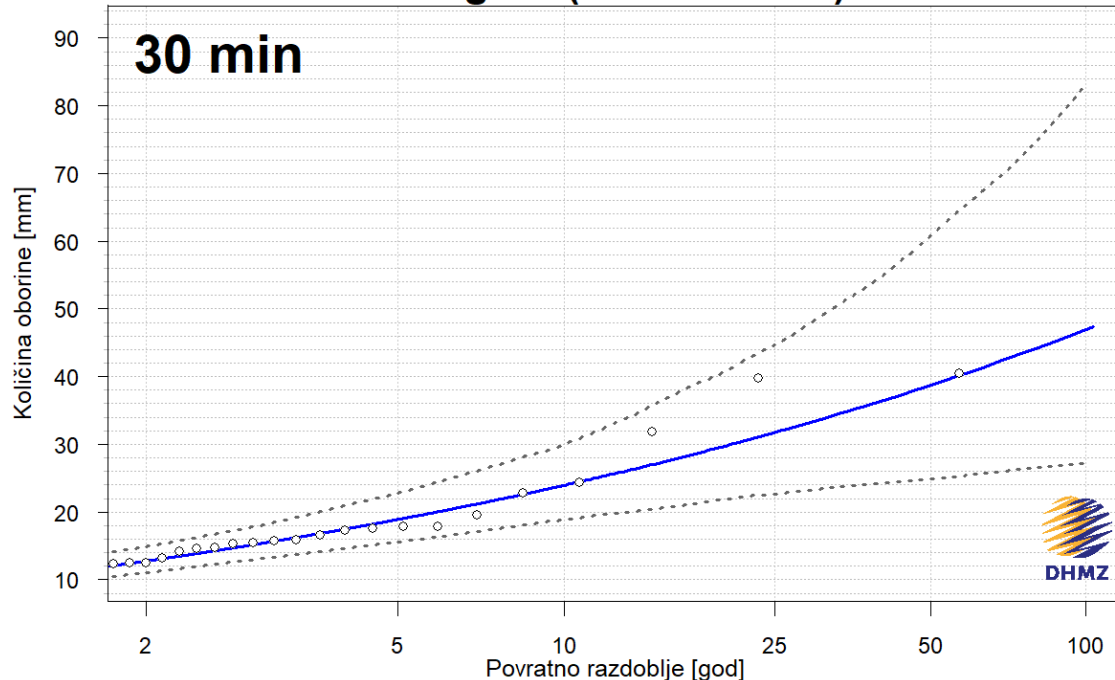
Slika 2. Procjene maksimalnih količina oborine za različita povratna razdoblja (plava krivulja) i odgovarajući donji i gornji 95%-tni intervali pouzdanosti (crtkane krivulje) za trajanje **10 minuta**, izračunate pomoću razdiobe GEV

Bilogora (1977. – 2020.)



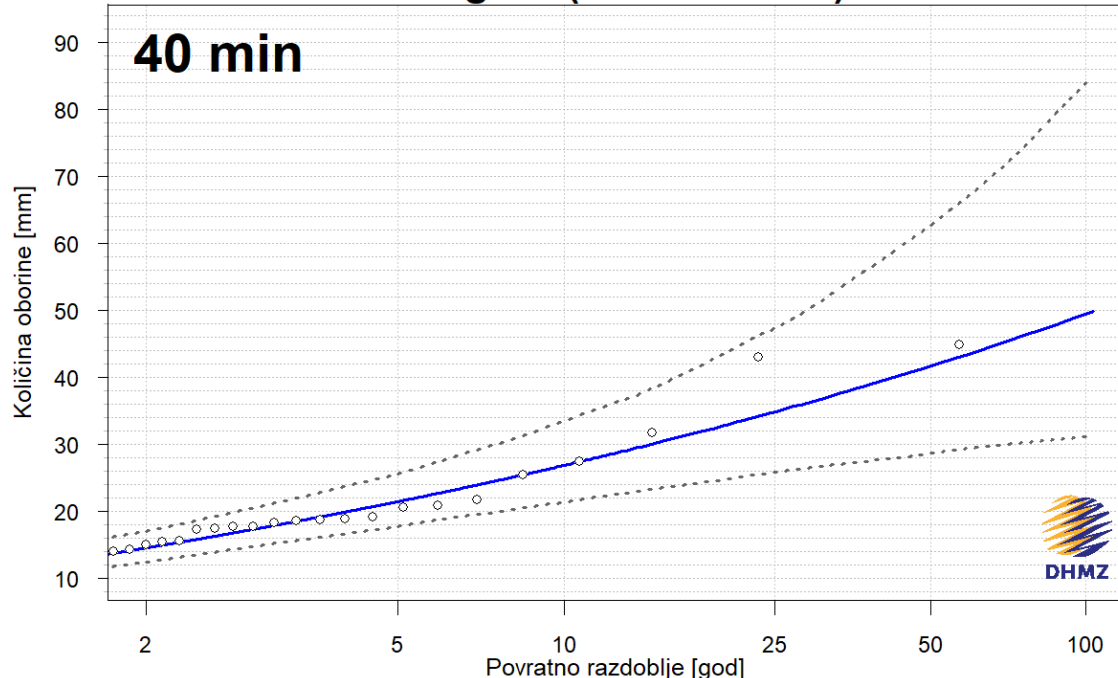
Slika 3. Procjene maksimalnih godišnjih količina oborine za različita povratna razdoblja (plava krivulja) i odgovarajući donji i gornji 95%-tni intervali pouzdanosti (crtkane krivulje) za trajanje **20 minuta**, izračunate pomoću razdiobe GEV

Bilogora (1977. – 2020.)



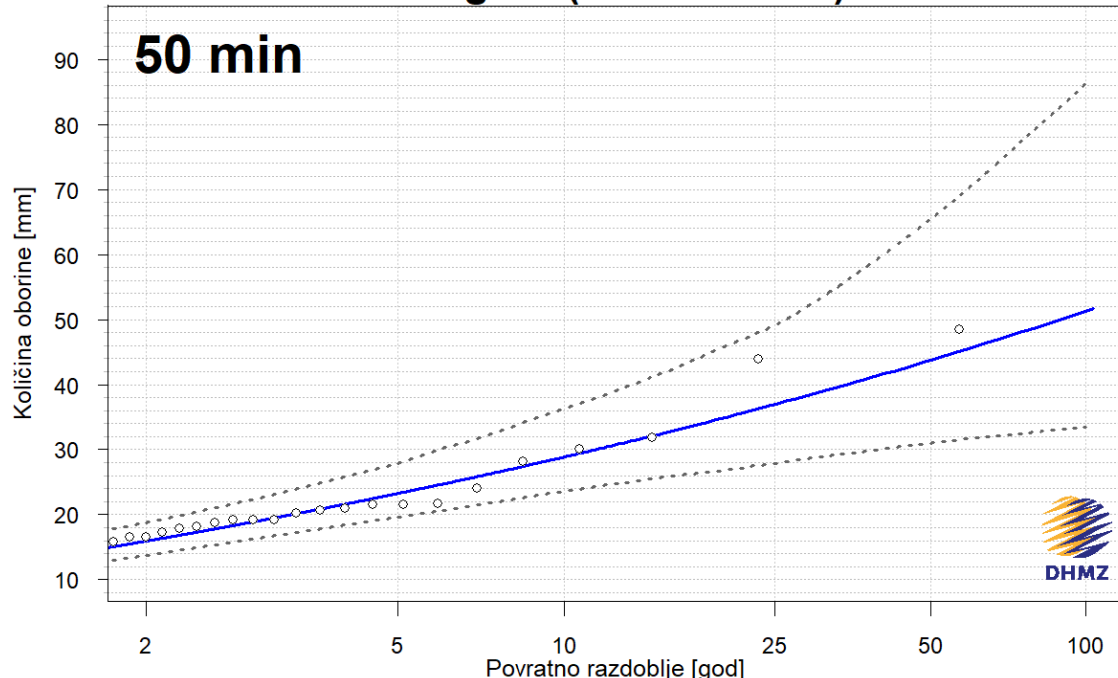
Slika 4. Procjene maksimalnih godišnjih količina oborine za različita povratna razdoblja (plava krivulja) i odgovarajući donji i gornji 95%-tni intervali pouzdanosti (crtkane krivulje) za trajanje **30 minuta**, izračunate pomoću razdiobe GEV

Bilogora (1977. – 2020.)

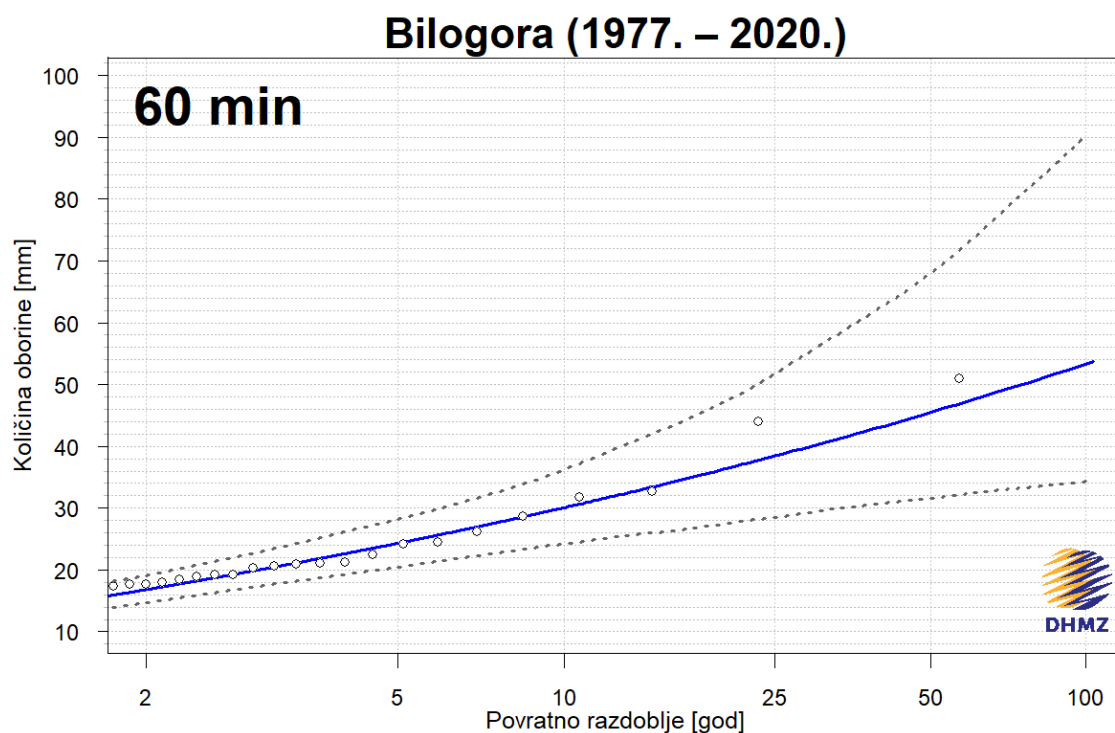


Slika 5. Procjene maksimalnih godišnjih količina oborine za različita povratna razdoblja (plava krivulja) i odgovarajući donji i gornji 95%-tni intervali pouzdanosti (crtkane krivulje) za trajanje **40 minuta**, izračunate pomoću razdiobe GEV

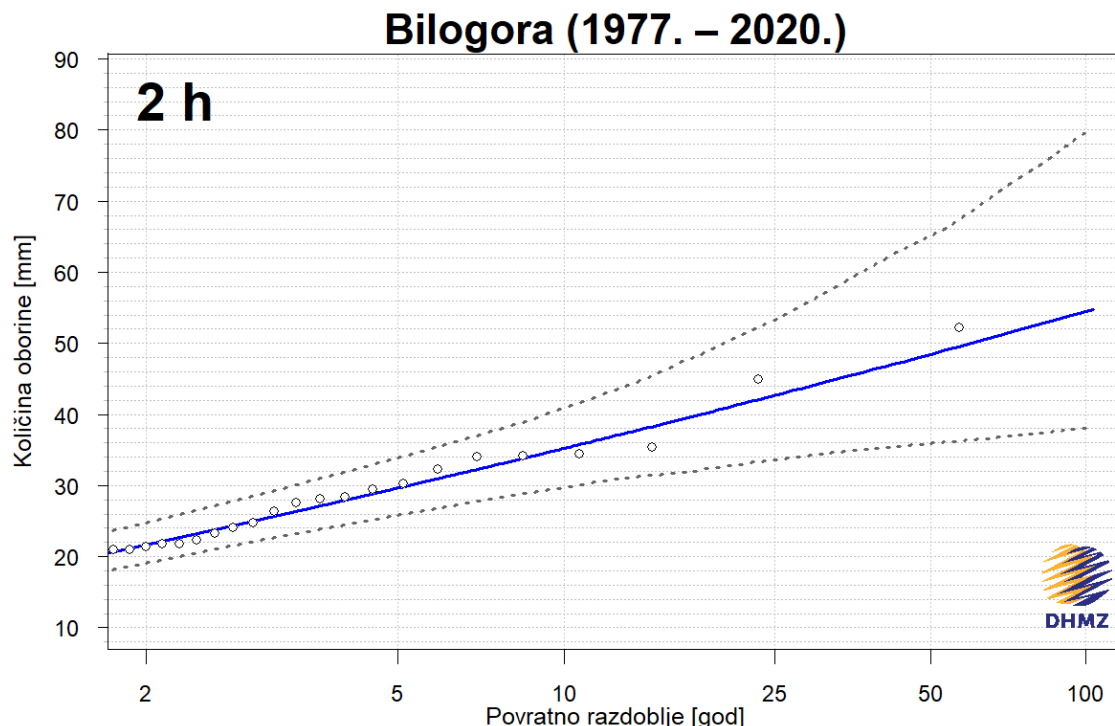
Bilogora (1977. – 2020.)



Slika 6. Procjene maksimalnih godišnjih količina oborine za različita povratna razdoblja (plava krivulja) i odgovarajući donji i gornji 95%-tni intervali pouzdanosti (crtkane krivulje) za trajanje **50 minuta**, izračunate pomoću razdiobe GEV

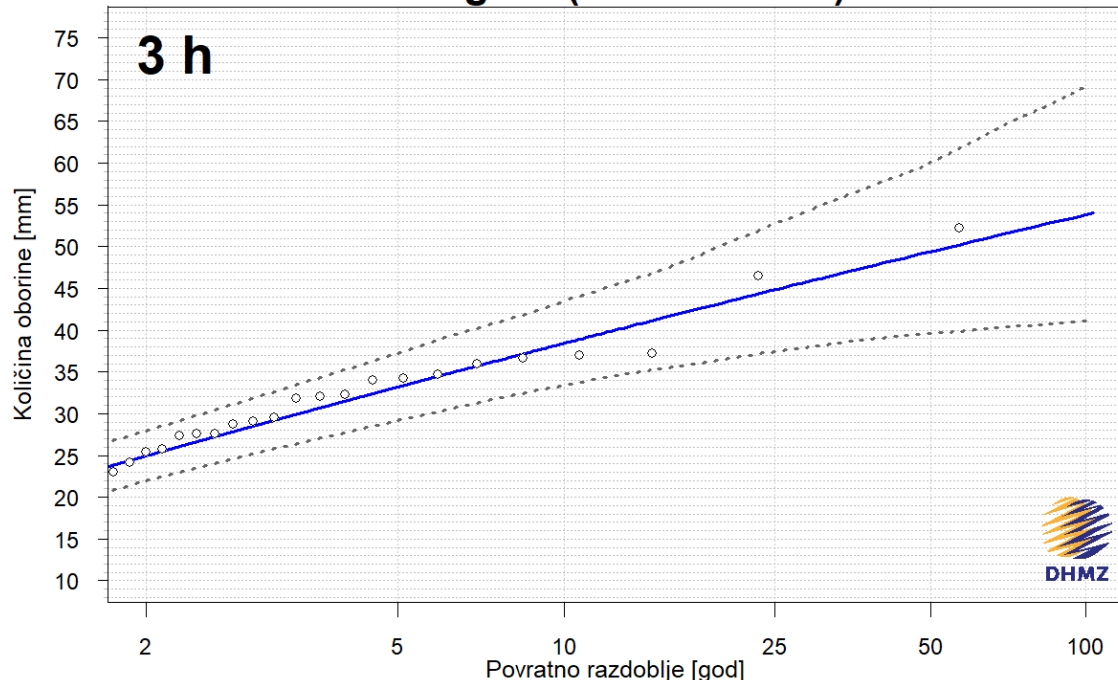


Slika 7. Procjene maksimalnih godišnjih količina oborine za različita povratna razdoblja (plava krivulja) i odgovarajući donji i gornji 95%-tni intervali pouzdanosti (crtkane krivulje) za trajanje **60 minuta**, izračunate pomoću razdiobe GEV



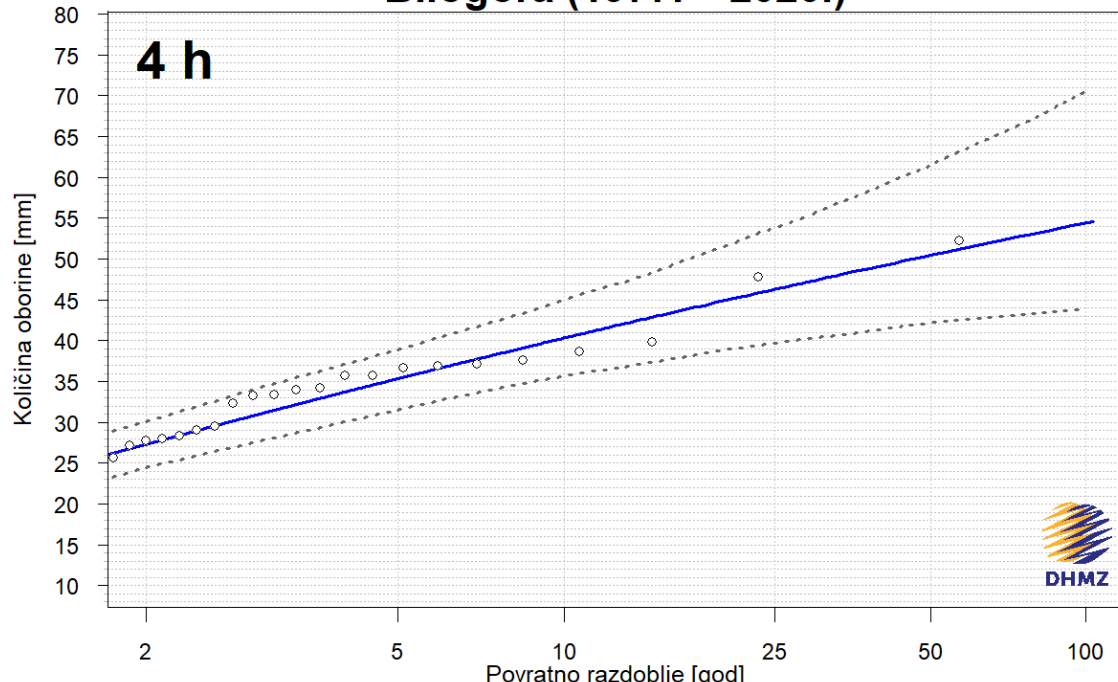
Slika 8. Procjene maksimalnih godišnjih količina oborine za različita povratna razdoblja (plava krivulja) i odgovarajući donji i gornji 95%-tni intervali pouzdanosti (crtkane krivulje) za trajanje **2 h**, izračunate pomoću razdiobe GEV

Bilogora (1977. – 2020.)

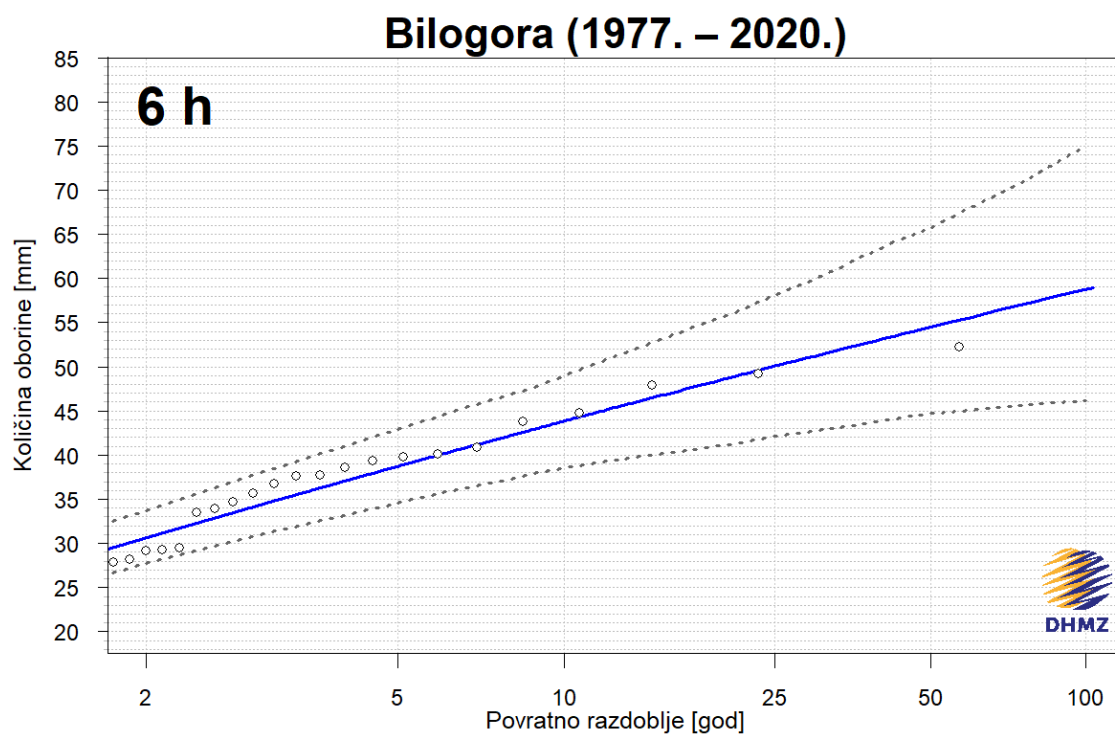


Slika 9. Procjene maksimalnih godišnjih količina oborine za različita povratna razdoblja (plava krivulja) i odgovarajući donji i gornji 95%-tni intervali pouzdanosti (crtkane krivulje) za trajanje 3 h, izračunate pomoću razdiobe GEV

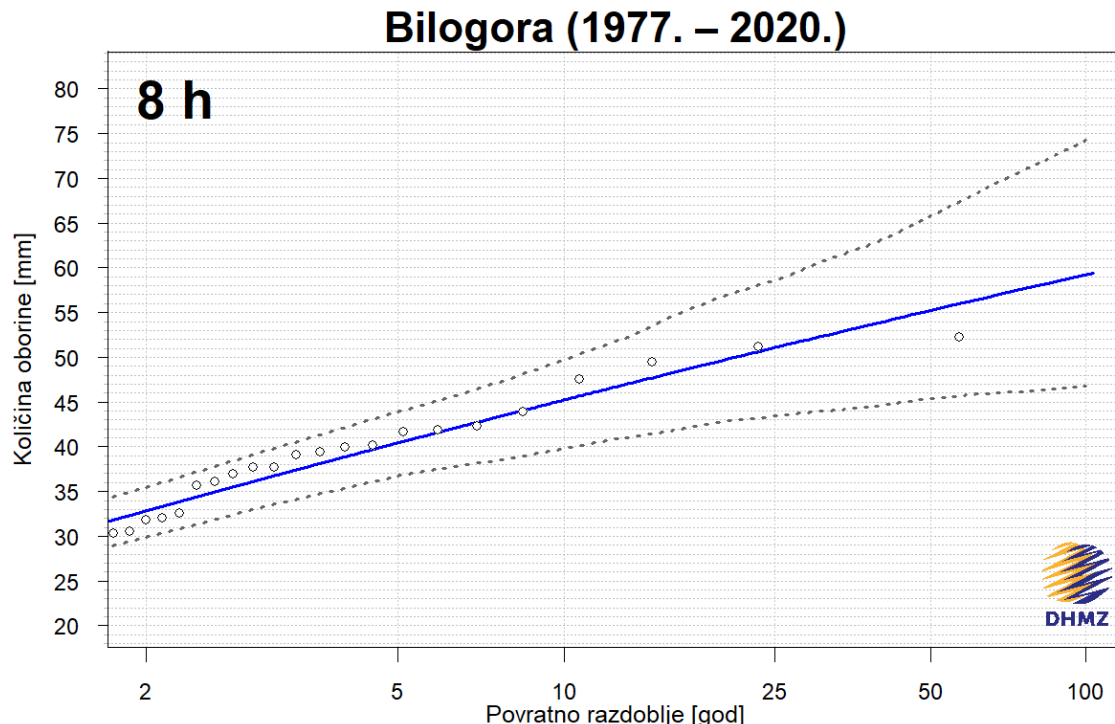
Bilogora (1977. – 2020.)



Slika 10. Procjene maksimalnih godišnjih količina oborine za različita povratna razdoblja (plava krivulja) i odgovarajući donji i gornji 95%-tni intervali pouzdanosti (crtkane krivulje) za trajanje 4 h, izračunate pomoću razdiobe GEV

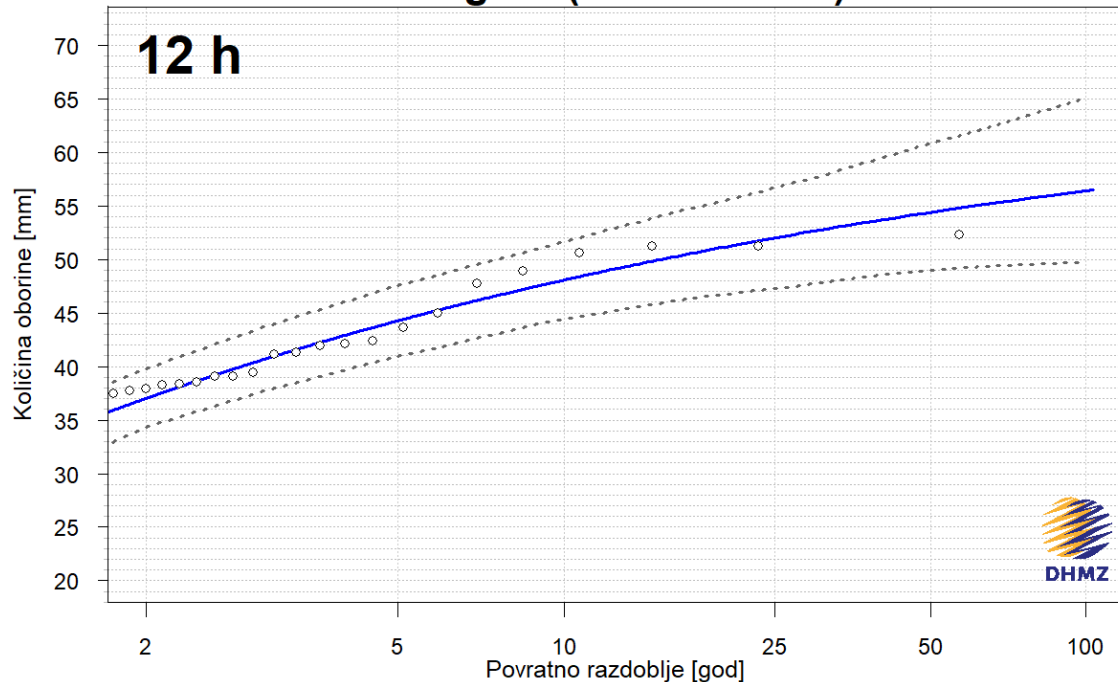


Slika 11. Procjene maksimalnih godišnjih količina oborine za različita povratna razdoblja (plava krivulja) i odgovarajući donji i gornji 95%-tni intervali pouzdanosti (crtkane krivulje) za trajanje **6 h**, izračunate pomoću razdiobe GEV



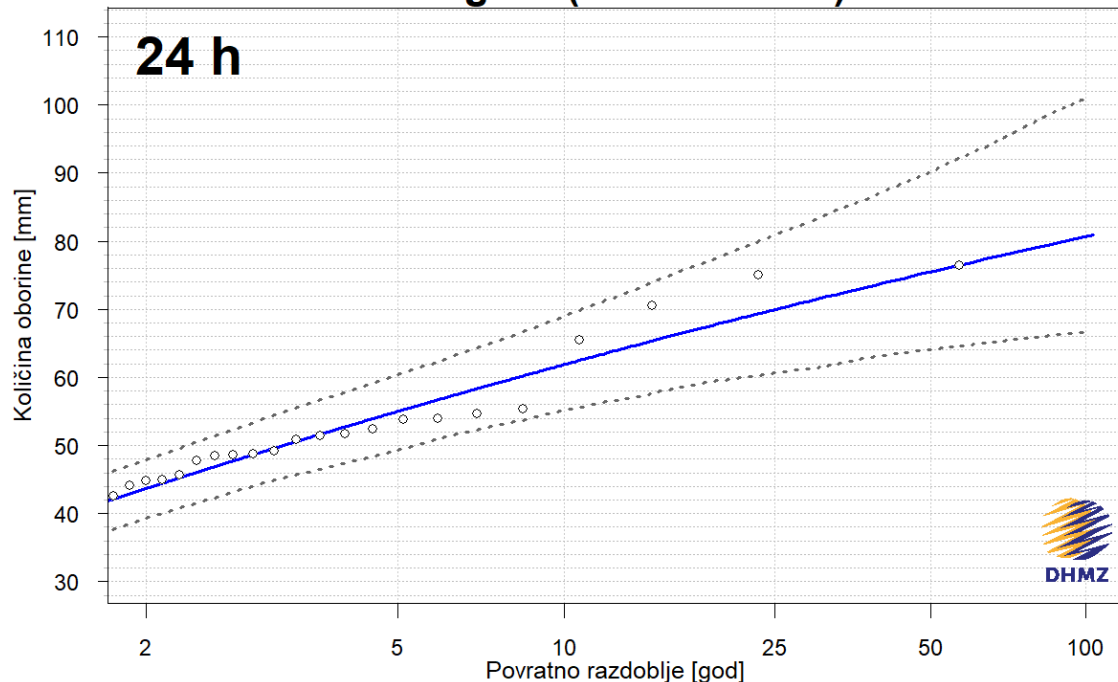
Slika 12. Procjene maksimalnih godišnjih količina oborine za različita povratna razdoblja (plava krivulja) i odgovarajući donji i gornji 95%-tni intervali pouzdanosti (crtkane krivulje) za trajanje **8 h**, izračunate pomoću razdiobe GEV

Bilogora (1977. – 2020.)



Slika 13. Procjene maksimalnih godišnjih količina oborine za različita povratna razdoblja (plava krivulja) i odgovarajući donji i gornji 95%-tni intervali pouzdanosti (crtkane krivulje) za trajanje **12 h**, izračunate pomoću razdiobe GEV

Bilogora (1977. – 2020.)



Slika 14. Procjene maksimalnih godišnjih količina oborine za različita povratna razdoblja (plava krivulja) i odgovarajući donji i gornji 95%-tni intervali pouzdanosti (crtkane krivulje) za trajanje **24 h**, izračunate pomoću razdiobe GEV